

11; 12

ЭЛЕКТРОННЫЙ АНАЛОГ МЕТОДА ОБРАТНОГО  
РАССЕЯНИЯ БЫСТРЫХ ИОНОВ  
ДЛЯ ИССЛЕДОВАНИЯ ГЛУБИННЫХ ПРОФИЛЕЙ  
ДЕФЕКТОВ В МОНОКРИСТАЛЛАХ

В.В. Макаров, В.П. Артемьев,  
Н.Н. Петров

Основным недостатком хорошо известного метода анализа дефектности приповерхностных слоев монокристаллов – резерфордовского обратного рассеяния быстрых ионов (*RBS*) – является сложность и высокая стоимость оборудования. В данном сообщении рассмотрены возможности электронного аналога этого метода, в котором с целью упрощения аппаратуры зондирование производится не мегавольтными атомными частицами, а электронами с энергией  $E_p$  в единицы – десятки кэВ. Информация о дефектности на разных глубинах, так же как и в *RBS*, извлекается из энергетических спектров рассеянных на заданный угол первичных частиц с использованием эффекта канализации.

Как показали предварительные исследования [1–3], одной из особенностей обратного рассеяния электронов по сравнению с быстрыми ионами является дискретность энергетических спектров, состоящих из пика упругого отражения и серии пиков плазмонных потерь энергии  $\Delta E$  (рис. 1, а).<sup>1</sup> Это означает, что приближение непрерывных потерь энергии в данном случае неприменимо и дефектность может быть найдена лишь для дискретных глубин  $z$ , определяемых глубинами формирования соответствующих пиков. Кроме того, эффект канализации электронов рассматриваемого диапазона  $E_p$  имеет иную природу и описывается динамической теорией дифракции (ДТД). Однако, несмотря на эти различия, процессы обработки результатов измерений в предлагаемом методе и в его прототипе аналогичны.

Распределение смешанных из узлов атомов по глубине находится по зависимости  $C_N(N) = (I_1 - I_2)/(I_{10} - I_{20})$  (рис. 1, б), где  $C_N$  – относительный ориентационный контраст рассеяния для  $N$ -го пика,  $I_1, I_2$  – интенсивности данного пика при облучении образца с дефектами в направлениях максимального и минимального рассеяния; индекс „0” соответствует совершенному кристаллу. В простейшем приближении ДТД – модели невзаимодействующих волн с одинаковым коэффициентом поглощения  $\mu$  аналитическое выражение для  $C_N$  имеет вид:

<sup>1</sup> Представленные здесь экспериментальные результаты получены на установке, описанной в [2].

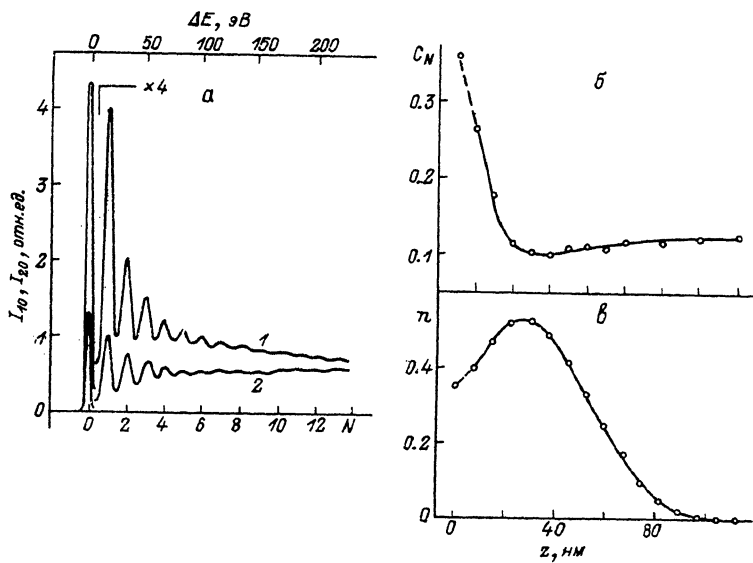


Рис. 1. а - энергетические спектры обратного рассеяния электронов с \$E\_p = 16\$ кэВ для совершенного монокристалла \$Si\$ (111) при бомбардировке в направлениях максимального (1) и минимального (2) рассеяния; б - относительный контраст \$C\_N(N)\$ для образца, имплантированного ионами аргона с энергией 40 кэВ при дозе \$2 \cdot 10^{14} \text{ см}^{-2}\$; в - профиль радиационных нарушений, восстановленный по кривой "б".

$$C_N = \frac{\int_0^\infty [1 - n(z)] \exp(-\int_0^z \mu dz) F_N dz}{\int_0^\infty \exp(-\mu z) F_N dz}, \quad (1)$$

где \$n(z)\$ - искомый профиль относительной концентрации смещенных атомов (для аморфизованного вещества \$n = 1\$), \$\mu(z) = \mu\_0 [1 + A n(z)]\$, \$\mu\_0\$ - коэффициент поглощения в ненарушенном кристалле, \$F\_N = z^N \exp(-Bz/\lambda)\$ - функции, описывающие распределение первоначально монокинетического пучка электронов по группам, испытавшим \$N\$-кратную потерю энергии (см. [3]), \$\lambda\$ - длина свободного пробега электрона относительно неупругих взаимодействий, \$B = 1/\cos\alpha + 1/\cos\beta\$, \$\alpha, \beta\$ - углы падения первичных и вылета

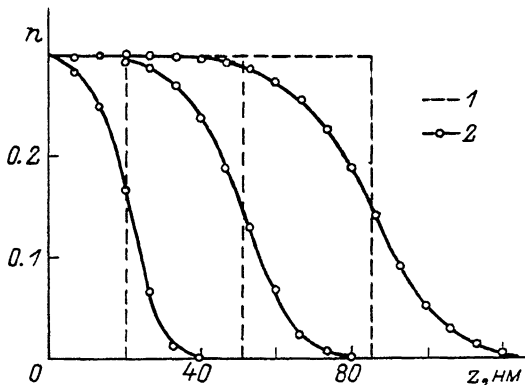


Рис. 2. Расчетные кривые, иллюстрирующие разрешающую способность метода по глубине. 1 - заданные профили дефектов, 2 - восстановленные по описанной методике.  $E_p = 16$  кэВ.

рассеянных электронов (в наших экспериментах  $\alpha \approx 0$ ,  $\beta \approx 40^\circ$ ,  $B \approx 2.3$ ).

Подынтегральные функции в (1) имеют максимумы, положение которых зависит от  $N$ , что и определяет возможность глубинного анализа по зависимости  $C_N$  от  $N$ . Вводя среднюю глубину  $z_N$  формирования контраста на  $N$ -м пике и выражая интегралы через значения подынтегральных функций при  $z = z_N$ , нетрудно получить  $C_N \approx [1 - n(z_N)] \exp(-A \mu_0 \int_0^{z_N} n dz)$ ,  $z_N \approx (N+1)/(\mu + B/\lambda)$ , после чего профиль  $n(z_N)$  легко восстанавливается по экспериментальному набору  $C_N$  с помощью итерационной процедуры [4], применяемой в методе RBS. При этом масштаб по глубине (шаг итерации) равен  $S = z_{N+1} - z_N = (\mu + B/\lambda)^{-1}$  и, как видно, не определяется удельными потерями энергии как в RBS.

На практике мы использовали более точную по сравнению с (1) модель, учитывающую взаимодействие блоховских волн и различия в их поглощении. Выражение для  $C_N$  в этом случае усложняется, но методика нахождения  $n(z_N)$  остается той же. Необходимые для расчетов значения  $\lambda$ ,  $\mu_0$  и  $A$  брались из [3, 5].

Окончательный результат представлен на рис. 1, в. Положение максимума на полученному профиле совпадает с теоретическим значением  $R_{PD}$  [6], а ширина распределения  $\Delta R_{PD}$  превышает расчетную величину на 35 %. Это уширение возникает за счет недостаточно высокого разрешения метода по глубине (см. рис. 2) и может быть скорректировано введением соответствующих поправок. Очевидно, однако, что реально достижимое разрешение будет не меньше шага итерации  $S$ .

Как следует из данных [1-3], интервал потерь энергии, в котором возможно измерение  $C_N$  с удовлетворительной точностью, не-

зависимо от величины  $E_p$  составляет для кремния  $\sim 250$  эВ, или  $N_{\max} \sim 15$ . Поскольку же определяющие значение  $S$  величины  $1/\mu$  и  $\lambda$  приблизительно пропорциональны  $E_p$  [3], то  $S$  и максимальная глубина анализа  $z_{\max} = S \cdot N_{\max}$  оказываются линейно связанным с  $E_p$ . Это существенно отличает рассматриваемый метод от RBS. Численные оценки для кремния при  $B = 2.3$  дают  $S(\text{нм}) \approx 0.45 E_p$  (кэВ), так что, например, для  $E_p = 50$  кэВ  $S \approx 23$  нм и  $z_{\max} \approx 15$   $S = 0.35$  мкм.

Приведенные результаты показывают, что, кроме более простой аппаратурной реализации, предлагаемый метод может иметь преимущество перед RBS при исследовании мелких (единицы – десятки нанометров) профилей дефектов за счет лучшего разрешения по глубине при невысоких  $E_p$ . Преимуществом является также отсутствие дефектообразования в образце зондирующими излучением, что особенно важно в микроанализе с использованием остросфокусированных пучков.

В заключение отметим, что попытки создания электронно-зондового метода восстановления профилей дефектов, основанного на анализе зависимости от  $E_p$  ориентационного контраста коэффициента неупругого отражения электронов ( $E_p = 1-50$  кэВ), делались ранее в [7, 8]. Однако возможности этого метода, который сводится к решению некорректной задачи, еще не определены.

Авторы благодарны А.И. Титову за полезные обсуждения.

#### Список литературы

- [1] Артемьев В.П., Макаров В.В., Петров Н.Н.// Письма в ЖТФ. 1981. Т. 7. № 18. С. 989-992.
- [2] Артемьев В.П., Макаров В.В., Петров Н.Н.// Поверхность. 1982. № 10. С. 59-64.
- [3] Артемьев В.П., Макаров В.В., Петров Н.Н., Подсвириов О.А. // ФТТ. 1983. Т. 25. № 3. С. 684-691.
- [4] Schmid K. // Radiation Effects. 1973. V. 17. N 1. P. 201-207.
- [5] Аброян И.А., Подсвириов О.А. // Письма в ЖТФ. 1981. Т. 7. № 3. С. 181-185.
- [6] Буренков А.Ф., Комаров Ф.Ф., Кумахов М.А., Темкин М.М. Пространственные распределения энергии, выделенной в каскаде атомных столкновений в твердых телах. М.: Энергоатомиздат, 1985. 248 с.
- [7] Аброян И.А., Подсвириов О.А., Титов А.И.// Письма в ЖТФ. 1980. № 1. Т. 6. С. 14-18.
- [8] Аброян И.А., Котов А.В., Подсвириов О.А., Титов А.И. // Оптоэлектронная и полупроводниковая техника. 1986. № 10. С. 51-54.

Ленинградский политехнический  
институт им. М.И. Калинина

Поступило в Редакцию  
9 марта 1989 г.